

بررسی مقایسه‌ای شکل لاروهای سالم و تلفشده فیل‌ماهی

با استفاده از روش ریخت‌سنگی هندسی (*Huso huso*)

- ❖ حمید اسحق‌زاده: کارشناس ارشد گروه شیلات، پردیس کشاورزی و منابع طبیعی کرج، دانشکده منابع طبیعی، دانشگاه تهران
- ❖ سهیل ایگدری*: استادیار گروه شیلات، پردیس کشاورزی و منابع طبیعی کرج، دانشکده منابع طبیعی، دانشگاه تهران
- ❖ هادی پورباقر: استادیار گروه شیلات، پردیس کشاورزی و منابع طبیعی کرج، دانشکده منابع طبیعی، دانشگاه تهران
- ❖ غلامرضا رفیعی: استاد گروه شیلات، پردیس کشاورزی و منابع طبیعی کرج، دانشکده منابع طبیعی، دانشگاه تهران

چکیده

تلفات بالا در زمان بعد از شروع تغذیهٔ فعال در لاروماهیان خاویاری از مهم‌ترین معضلات مراکز تکثیر و پرورش است و به نظر می‌رسد این تلفات ناشی از انواع بدشکلی‌ها در قسمت‌های مختلف بدن باشد که در بازماندگی و بازارپسندی ماهیان تولیدشده تأثیر می‌گذارد. از این رو، این تحقیق با هدف مقایسهٔ شکل بدن نمونه‌های سالم و تلفشده لارو فیل‌ماهی در زمان شروع تغذیهٔ فعال و بررسی انواع الگوهای بدشکلی در آنها، با استفاده از روش ریخت‌سنگی هندسی، به اجرا درآمد. در این روش از نمونه‌های سالم و تلفشده در روز ۱۵ پس از تفريح با دوربین دیجیتال عکس‌برداری شد و روی تصاویر دو بعدی حاصل با استفاده از نرم‌افزار TpsDig2 لندمارک‌گذاری انجام شد. داده‌های حاصل پس از آنالیز پروکراست، با استفاده از روش‌های آماری چندمتغیره PCA و DFA تحلیل شدند و الگوهای بدشکلی نسبت به شکل اجماع در شکلهٔ تنیبر شکل مصورسازی شدند. بین نمونه‌های سالم و تلفشده اختلاف معنی‌داری از نظر شکل یافت شد ($P < 0.001$). الگوهای بدشکلی مشاهده شده شامل خمیدگی و فشرده شدن ابتدای ساقه دمی، فشرده شدن سرپوش آبسشی، کوتاهی پوزه و کوتولگی بودند. این بدشکلی‌ها احتمالاً با تأثیر در رشد و عملکردهای بیولوژیکی لارو، به ویژه عملکرد شنا، و در نتیجه کسب نکردن غذا سبب بروز تلفات در آنها شده‌اند.

واژگان کلیدی: بدشکلی، ریخت‌سنگی هندسی، فیل‌ماهی، لارو، *Huso*.

را به طور کامل جذب کرده‌اند، این سؤال مطرح است که آیا تفاوتی بین شکل بدن لاروهای تلفشده و لاروهای سالم وجود دارد که بتوان ناهنجاری‌های شکل بدن را دلیلی بر تلفات بالای آنها دانست. ناهنجاری‌های متنوع در شکل بدن گونه‌های مختلف ماهیان از جمله *Dicentrarchus labrax* (Koumoundouros *et al.*, 2002) *Solea sengalensis* (Gavaia *et al.*, 2002) 2002) *Sparus Pagrus major* (Kihara *et al.*, 2002) *Acipenser aurata* (Koumoundouros *et al.*, 1997.) *Huso huso* (Mohseni و *sinensis* (Hou *et al.*, 2011) (Yasemi *et al.*, 2011) و *et al.*, 2000) و بروز تلفات ناشی از آن، از لارو دارای کيسه زرده تا بچه‌ماهی، در آنها گزارش شده است (Morrison and MacDonald, 1995).

ریخت‌سنگی هندسی شامل استخراج شکل‌های زیستی بر اساس مختصات لندهارک‌ها و آنالیز آماری آنها بعد از حذف اندازه، موقعیت و جهت جایگاه مختصات لندهارک نمونه‌ها و آنالیز پروکراست است (Mitteroecker and Gunz, 2009). آنالیز ریخت‌سنگی هندسی شکل نسبت به ریخت‌سنگی سنتی دارای مزایای آشکاری از جمله دقیق، امکان صرفه‌جویی در زمان، مصورسازی اهداف مهم، امکان تفسیر دقیق و ارتباط بین نتایج است (Zelditch, 2004) و قادر است تفاوت‌های شکل افراد و بخش‌های مختلف آنها را نشان دهد که ناشی از بدشکلی‌ها، بیماری و جراحت‌ها، فردزادی و سازگاری به فاکتورهای جغرافیائی و تکامل است (Sfakianakis *et al.*, 2006). از این رو، تحقیق حاضر با هدف مقایسه شکل بدن دو گروه از لاروهای تلفشده و سالم فیل‌ماهی در زمان شروع تغذیه فعال و یافتن الگوهای احتمالی بدشکلی با استفاده از روش ریخت‌سنگی هندسی به اجرا درآمد.

۱. مقدمه

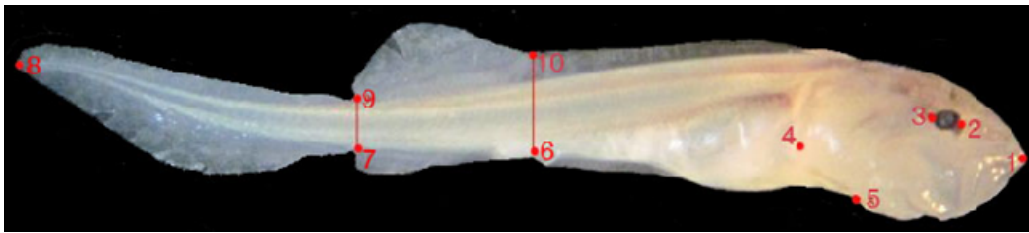
به علت کاهش فراوانی اعضای خانواده تاسماهیان در محیط زیست طبیعی، برنامه‌های تکثیر و پرورش و رهاسازی آنها به دریا برای بازسازی و احیای ذخایر طبیعی یا آبزی‌پروری توسعه پیدا کرده است (Bronzi *et al.*, 1999). در برنامه‌های تکثیر و پرورش تاسماهیان، تولید لارو حساس‌ترین و مشکل‌ترین مرحله است (Balon, 1986). در این بین تولید لارو و بچه فیل‌ماهی (*Huso huso*) به علت ارزش بالای اقتصادی و مناسب‌بودن برای آبزی‌پروری اهمیت بسزایی دارد. لاروماهیان متحمل تغییرات سلولی و ریختی متنوعی در اولین روزهای زندگی خود می‌شوند (Shana). با توجه به ارتباط مستقیم تغییرات رفتاری با تغییرات ریختی (تکوین سیستم‌های تنفسی، تغذیه‌ای، حسی و شنا) در زمان فردزادی ممکن است هر گونه ناهنجاری ظاهری و عملکردی در اندام‌های ضروری، مانند آرواره‌ها، آبشش، باله‌ها و کيسه شنا، در موفقیت لارو برای گرفتن طعمه در محیط یا فعالیت‌های حیاتی مانند شنا و پرکردن کيسه شنا نقش داشته باشد (Koumoundouros *et al.*, 2001; Koumoundouros *et al.*, 1997; Morrison and MacDonald, 1995; Villamizar *et al.*, 2009). برای مثال، حساسیت لاروماهیان به کمبود غذای مصرفی، خصوصاً به دنبال جذب کيسه زرده، می‌تواند تأثیرات درخور توجهی در بقای آنها داشته باشد (McFadzen *et al.*, 1994) که علت آن دردسترس نبودن غذای کافی یا ناتوانی در کسب غذا در این مرحله است (Gisbert *et al.*, 2002). با توجه به تلفات بالای لاروهای فیل‌ماهی در مرحله اولیه تغذیه فعال و در زمانی که کيسه زرده خود

سنجهش شدند. برای استخراج داده‌های شکل ImageJ در روش ریخت‌سنگی هندسی تعداد ۸ لندهارک (Landmark) و ۲ لندهارک کاذب یا نوع سوم (Pseudo-Landmark) تعیین و با استفاده از نرم‌افزار TpsDig2 روی تصاویر دوبعدی قرار داده شدند (شکل ۱). به منظور حذف ویژگی‌های غیر شکل و استخراج داده‌های شکل، جایگاه لندهارک‌های همه نمونه‌ها با استفاده از آنالیز پروکراست (Generalized Procrustes Analysis) روی هم‌گذاری شدند و تلفشده با استفاده از آنالیزهای چندمتغیره به تابع‌های اصلی (PCA) و (DFA) تجزیه و با نرم‌افزارهای Functional Analysis و Past تحلیل شدند. سپس، الگوهای MorphoJ Thin plate مختلف بدشکلی با استفاده از روش spline و با نرم‌افزار TpsSplin در شبکه‌های تغییر شکل (Deformation grid) مصورسازی شدند (Rohlf, 2001). مصورسازی شکل اجماع نمونه‌های سالم و بدشکل به منظور نشان‌دادن انحراف از میانگین حالت سالم اشکال نیز ارائه شد (شکل ۲). به منظور مقایسه شکل دو گروه، این مصورسازی بر اساس تغییر از میانگین حالت سالم به میانگین وضعیت بدشکل است (Bookstein, 1996). تجزیه و تحلیل داده‌های طول کل، طول سر و طول پوزه لاروها بین نمونه‌های سالم و تلفشده با استفاده از آنالیز t-test در نرم‌افزار SPSS ارزیابی شد.

۲. مواد و روش کار

لاروهای مورد مطالعه این تحقیق از تکثیر مصنوعی مولدهای پرورشی با استفاده از هورمون LHRH_{a2} در ماهیان خاویاری دکتر دادمان رشت استحصال شدند. دمای آب هنگام تزریق ۱۱ درجه سانتی‌گراد بود. پیش‌لاروها بعد از ۸ روز از تخم خارج شدند و بلافضلله با تراکم ۳۳ گرم در ۵۲×۱۰۲×۱۰۵ فایبرگلاس ۰/۵ تنی در ابعاد (طول×عرض×ارتفاع) قرار گرفتند که تا ارتفاع آبگیری ۲۰ سانتی‌متری آبگیری شده بودند. منبع و دبی آب با استفاده از مخلوط آب چاه و رودخانه به ترتیب با دبی ۴۰۰ سی سی در دقیقه و ۲۵۰ سی سی در دقیقه بودند. به منظور جلوگیری از کاهش دما، در نوسانات شبانه‌روزی بالای دمای آب رودخانه، از آب چاه استفاده شد. شرایط دما، اکسیژن و pH طی دوره پرورش به صورت روزانه ثبت شد. میانگین pH در حدود ۷/۲ و دمای آب ۱۵/۹ درجه سانتی‌گراد و اکسیژن آب ۸/۷ ppm ثبت شد.

برای مطالعات ریخت‌سنگی، ۵۰ نمونه تلفشده و ۳۰ نمونه زنده لارو فیل‌ماهی در روز ۱۵ پس از تفریخ به طور کاملاً تصادفی نمونه‌برداری و در فرمایین بافری فسفاته ۱۰ درصد تثیت شدند. از سمت چپ سطح جانبی نمونه‌ها با استفاده از لوب مجهز به دوربین Cannon با قدرت تفکیک ۸ مگاپیکسل عکس‌برداری شد. فواصل خطی نمونه‌ها از جمله طول کل (TL) با استفاده از نرم‌افزار



شکل ۱. لندهارک‌های تعیین‌شده روی نمونه‌ها: ۱- ابتدای ترین نوک پوزه، ۲- ابتدای چشم، ۳- انتهای چشم، ۴- قسمت میانی انتهای سرپوش آبششی، ۵- پایین ترین انتهای سرپوش آبششی، ۶- نقطه واقع در مقابل ابتدای باله پشتی (لندهارک نوع سوم)، ۷- نقطه واقع در مقابل انتهای باله پشتی (لندهارک نوع سوم)، ۸- انتهای باله دمی، ۹- انتهای باله پشتی، ۱۰- ابتدای باله پشتی.

جدول ۱. بیومتری نمونه‌های جمع‌آوری شده (میانگین \pm SD)

لاروهای ۱۵ روزه	میانگین نمونه‌های تلفشده		میانگین نمونه‌های سالم		تعداد نمونه
	حداکثر	حداقل	حداکثر	حداقل	
میانگین طول کل (mm)	۱۷/۱۷ \pm ۱/۶		۲۰/۹۴ \pm ۱/۴		۲۰
	۲۳/۹۲	۱۸/۱۳	۲۳/۹۸	۱۸/۶۶	
میانگین طول سر (mm)	۴/۷۷ \pm ۰/۴۸		۵/۴۰ \pm ۰/۴۷		۲۰
	۵/۷۲	۴/۰۴	۶/۱۴	۴/۰۵	
میانگین طول پوزه (mm)	۱/۲۴ \pm ۰/۳۴		۱/۶۳ \pm ۰/۲۳		۲۰
	۱/۷۲	۴/۰۴	۱/۹۸	۱/۲۹	

نمونه‌های بدشکل نشان داد که الگوهای شکل در بین آنها متنوع است، اما تفاوت شکل دو گروه زنده و تلفشده به طور عمده به واسطه بدشکلی‌ها در قسمت‌های پیشین و میانی بدن است (شکل ۳).

نتایج Thin plate spline در شبکه تغییر شکل Wireframe (Deformation grid) و گراف (Graph) بین نمونه‌های زنده و تلفشده نشان داد که بیشترین جایه‌جایی لندهارک‌ها در نواحی سر، سرپوش آبششی و بخش جلویی دم در مقابل قسمت پیشین باله پشتی بود. در وضعیت شکل بدن، لندهارک‌های ۱، ۲ و ۳ (مربوط به ناحیه سر) و لندهارک‌های ۴ و ۵ (مربوط به ناحیه سرپوش آبششی) به سمت داخل و لندهارک‌های ۶ و ۱۰ (مربوط به ناحیه پشتی) به

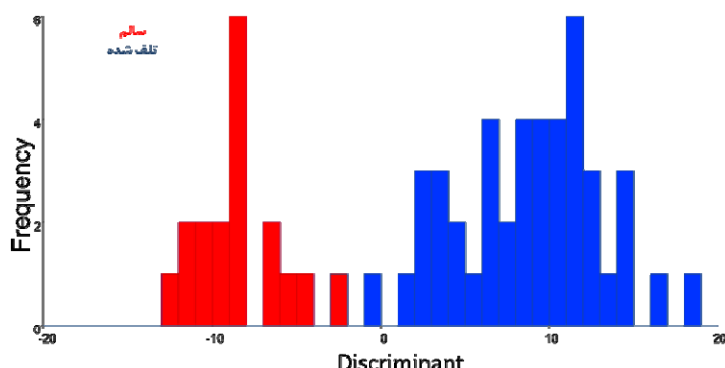
۳. نتایج

طول کل لاروها به طور متوسط در بین نمونه‌های سالم و تلفشده $20/93 \pm 1/4$ میلی‌متر بود (جدول ۱). نمونه‌های سالم و تلفشده از نظر طول کل تفاوت معنی‌داری نداشتند ($P > 0.05$). طول سر و پوزه نمونه‌های سالم و تلفشده تفاوت معنی‌داری را نشان دادند ($P < 0.05$). طول سر و طول پوزه لاروهای تلفشده کمتر از نمونه‌های سالم بودند. بررسی شکل نمونه‌های سالم و تلفشده در روز ۱۵ پس از تفریخ نشان داد که شکل بدن آنها به طور معنی‌داری متفاوت‌اند ($P < 0.0001$) (شکل ۲). آنالیز PCA نیز دو گروه نمونه‌های تلفشده و سالم را کاملاً از هم جدا کرد (شکل ۳). وضعیت جمعی

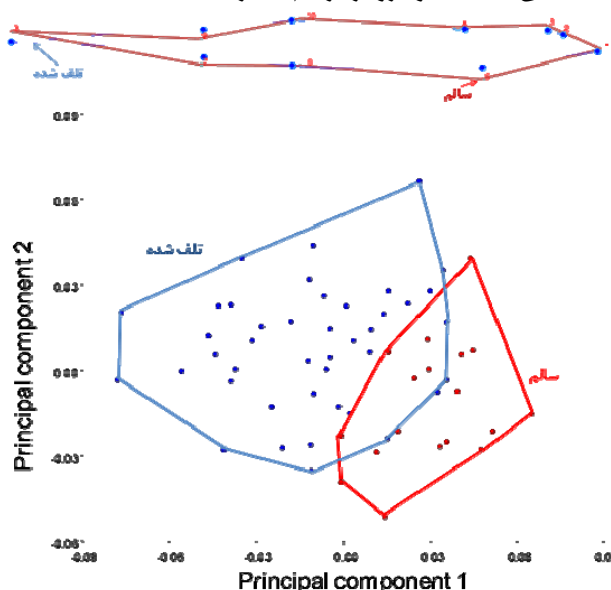
پشتی مشاهده شد (شکل ۴). مقایسه انفرادی الگوهای بدشکلی مشاهده شده با شکل اجماع نمونه‌های سالم با استفاده از شبکه تغییر و بدشکلی‌های استخراج شده از جابه‌جایی لندهارک‌ها در شکل ۴ آورده شده است. ناهنجاری‌های قسمت قدامی بدن با بدشکلی‌های ناحیه سرپوش‌های آبشنی و پوزه همراه بود و در نمونه‌های تلفشده، فشردگی ناحیه سرپوش آبشنی و طول پوزه به سمت داخل بود (شکل ۴).

سمت عقب جابه‌جا شده بودند. کمترین جابه‌جایی در شکل بدن مربوط به لندهارک‌های ۷ و ۹ (مربوط به ناحیه انتهایی دم) بود (شکل ۳). بنابراین عمدّه تفاوت بین دو گروه سالم و تلفشده مربوط به ناحیه سر و بخش پیشین دمی در موقعیت باله پشتی بود (شکل ۳).

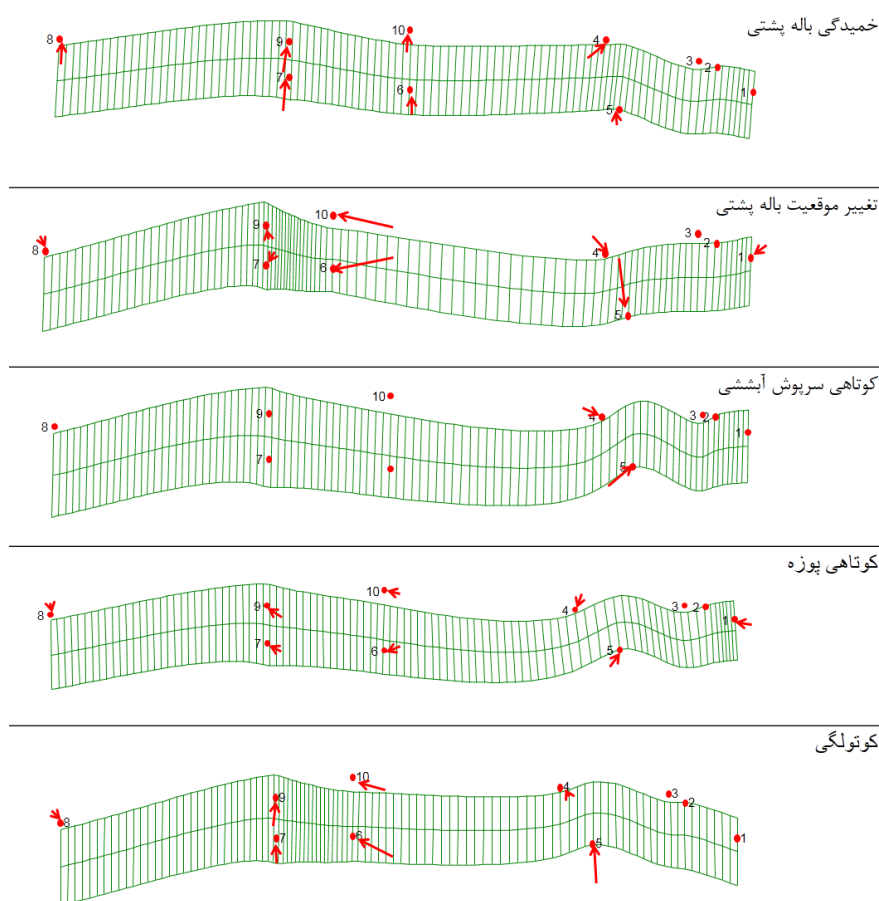
بر اساس الگوهای جابه‌جایی لندهارک‌ها روی شکل نمونه‌های تلفشده، بدشکلی در ناحیه پوزه، سرپوش آبشنی، ناحیه ابتدایی دم و موقعیت باله



شکل ۲. نمودار Discriminant Functional Analysis داده‌های مختصات لندهارک‌های مربوط به شکل بدن لاروهای سالم و تلفشده فیل‌ماهی که کاملاً دو گروه را از هم جدا کرده است ($P<0.0001$).



شکل ۳. نمودار PCA شکل بدن لاروهای فیل‌ماهی. نمونه‌های سالم (رنگ قرمز) و تلفشده (رنگ آبی). (شکل بالای نمودار تغییر شکل از حالت طبیعی (آبی کمنگ) به وضیت بدشکلی در تلفشده‌ها (آبی پرنگ) را به صورت گراف Wireframe نشان می‌دهد).



شکل ۴. مقایسه انفرادی نمونه‌های بدشکل با استفاده از شبکه تغییر شکل (Deformity girds). (فلش‌های قرمز جهت جایه‌جایی لندمارک‌ها و الگوهای بدشکلی از نمونه‌های سالم به نمونه‌های بدشکل را نشان می‌دهد).

۴. بحث و نتیجه‌گیری

از آنجا که تمرکز اصلی در آبزی‌پروری اجرای روش‌های برای اصلاح موفقیت تکثیر، بازماندگی و رشد است (Verhaegen *et al.*, 2007)، موفقیت یا موفق‌نباودن پرورش یک گونه ممکن است تا حد بسیاری به وسیله اتفاقاتی تعیین شود که مراحل ابتدایی تکوین را تحت تأثیر قرار می‌دهد و نسبت به مرحله بلوغ تأثیر آشکارتری دارد (Orton, 1953). در بیشتر مطالعات، حساس‌ترین دوره اغلب زمان تبدیل تغذیه داخلی به تغذیه خارجی گزارش شده است (Galis *et al.*, 1994) و بعد از شروع تغذیه فعال،

بدشکلی‌های مشاهده شده شامل خمیدگی و فشرده شدن ابتدای ساقه دمی، فشرده شدن سرپوش آبیشی، کوتاهی پوزه و کوتولگی بودند (شکل ۴). بدشکلی ناشی از کوتولگی بیشتر به علت کوتاهی و فشردگی ناحیه پیشین دم بود (شکل ۴). در گروه لاروهای تلف شده لندمارک‌های ۶ و ۱۰ به قسمت خلفی تر تغییر مکان داده بودند و این امر احتمالاً سبب تغییر مکان باله پشتی به ناحیه عقب‌تری از محور بدن، کوچک شدن قاعده باله پشتی و خمیدگی ناحیه پشتی در نمونه‌های تلف شده نسبت به نمونه‌های سالم شده است. بنابراین، قاعده و موقعیت باله پشتی نیز بین دو گروه متفاوت بود (اشکال ۳ و ۴).

و کوتولگی بودند. در کارگاه‌های تکثیر فیل‌ماهی و در بهترین تراکم ذخیره‌سازی سنتی، بیشترین بدشکلی ظاهری در لاروهای تلفشده را کجشدن ستون فقرات، آویزانبودن دم و گوژپشتی گزارش کرده‌اند. در این گزارش حدود ۱۹ نوع ناهنجاری ظاهری در لاروهای تلفشده گزارش شده است که بیشتر این Mohseni (et al., 2000) ناهنجاری‌ها در قسمت قدامی بدن بوده‌اند (Adriaens et al., 2000). ذکر این نکته ضرورت دارد که الگوهای بدشکلی مشاهده‌شده در این تحقیق، برخلاف روش‌های سنتی، مطمئن‌تر است چراکه روش ریخت‌سنجدی هندسی تغییرات کل شکل بدن را به صورت یک واحد بررسی می‌کند. این روش نسبت به روش‌های کیفی بررسی بدشکلی‌ها توانایی بالایی در آشکارکردن شکل‌های زیستی دارد و با کمی‌کردن تفاوت‌های ریختی، شکل‌ها را بدون توجه به نظر محقق آشکار می‌کند.

عملده بدشکلی‌های ریختی در لاروهای فیل‌ماهی تلفشده در زمان بعد از شروع تغذیه فعال مربوط به سر در ناحیه پوزه و سرپوش آبششی بود. بدشکلی و کوتاهی پوزه و به دنبال آن بدشکلی دهان و کاهش اندازه شکاف دهانی می‌تواند در موقوفیت برای گرفتن طعمه در ستون آب تأثیر گذارد و سبب کاهش دامنه انتخاب شکار و رقابت شود (Scharf et al., 2000). چنین وضعیتی می‌تواند در مورد لاروهای فیل‌ماهی نیز صدق کند. در لارو باس دریایی (*Dicentrarchus labrax*) بدشکلی دهان فعالیت تغذیه‌ای را کاهش داده و منجر به تلفشدن لاروها شده است (Cobcroft and Battaglene, 2009).

قسمت آرواره و پوزه به علت رفتار لارو و صدمات مکانیکی ناشی از برخورد لارو به دیواره تانک‌های

رشد و تکوین لاروها به طور عمده به تأمین و تراکم غذای زنده در محیط پرورش وابسته است (Gisbert et al., 1992; Oozeki et al., 2002). در مرحله شروع تغذیه فعال، بدشکلی‌های ناحیه قدامی بدن، به ویژه قسمت دهان، می‌تواند فعالیت‌های تغذیه‌ای لارو را کاهش دهد و منجر به گرسنگی و در نهایت مرگ لارو شود (Barahona-Fernandes, 1979). انواع بدشکلی‌های دیگر نیز در این دوره می‌تواند در رشد و عملکردهای بیولوژیکی تأثیر بگذارد و آنها را در مقابل عوامل استرس‌زا و بیماری‌زا آسیب‌پذیر کند. علاوه بر این، مطالعه ریخت‌شناسی ماهیان در این دوره می‌تواند به درک تشکیل ساختارها و نیازهای عملکردی آنها نیز کمک کند (Adriaens et al., 2001).

نتایج این تحقیق نشان داد که شکل بدن نمونه‌های تلفشده و سالم تفاوت معنی‌داری دارند. از این رو، این نتایج می‌تواند تأیید کند که تلفات احتمالاً به واسطه بدشکلی در بخش‌های مختلف بدن رخ داده است و ناهنجاری‌های شکل بدن را می‌توان دلیلی بر تلفات بالای لاروها در این دوره ذکر کرد. بدشکلی‌ها یا تفاوت شکلی مشاهده‌شده در لاروهای تلفشده را می‌توان نتیجه تکثیر مصنوعی یا تأثیر نامطلوب فاکتورهای محیطی دانست که در مراحل تکوین اولیه لاروی اثر منفی می‌گذارند (Barahona-Fernandes, 1979; Varkonyi et al., 1998; Mohseni et al., 2000; Cobcroft and Battaglene, 2009).

بدشکلی‌های مشاهده‌شده لاروهای تلفشده در این مطالعه شامل خمیدگی و فشردگی ابتداً ساقه دمی، فشردگی ناحیه سرپوش آبششی، کوتاهی پوزه

فیل ماهی به واسطه بدشکلی ابتدای ساقه دمی و در نتیجه کوتولگی بود. موارد متعددی از تلفات ناشی از بدشکلی مربوط به ناهنجاری ناحیه دم، به ویژه اسکلت دمی، در ماهیان گزارش شده است Koumoundouros *et al.*, 2002; Verhaegen *et al.*, 2007). چنین بدشکلی هایی می توانند در فعالیت شنا، به دست آوردن غذا و فرار از شکارچی مشکل ایجاد می کنند (Varkonyi *et al.*, 1998). از این رو، با توجه به شرایط تانک های پرورشی، به نظر می رسد لاروهای فیل ماهی با بدشکلی دمی (خمیدگی و احتمالاً ناهنجاری ستون فقرات) به علت کاهش عملکرد شنا تلف شده اند. گزارش شده است که گربه ماهیان (*Heteropneustes fossilis*) و (*Mystus vitattusk*) لاروهای غیر طبیعی با بدشکلی دم و کچ شدن ستون فقرات، به علت باقیماندن در موقعیت جانبی روی بستر، تعادل شان را از دست می دهند و خفگی در آنها به وقوع می پیوندد (Koumoundouros *et al.*, 2001; Teji and Thomas, 2006).

نتایج این مطالعه تفاوت شکل بدن را بین لاروهای سالم و تلف شده، صرف نظر از نوع بدشکلی ها، نشان داد. با توجه به بدشکلی های قسمت سر (پوزه و سرپوش آبشنی)، قسمت پیشین ساقه دمی و موقعیت باله پشتی در پیش لاروهای فیل ماهی، این تلفات را می توان ناشی از ضعف عملکرد شنا و در نتیجه نبود تغذیه مناسب دانست. این لاروهای بدشکل، حتی در صوت ادامه حیات، در مراحل تکوینی بعدی نیز می توانند میزان تولیدات لاروی را کاهش دهند و باعث زیان اقتصادی در پروses تولید لارو، به علت کاهش بازماندگی، شوند. با توجه به اهمیت ویژگی های ریختی، به منزله شاخص های رشد

پرورشی ذکر شده است و چنین امکانی برای لاروهای فیل ماهی در شرایط پرورشی نیز پیش بینی می شود.

ناهنجاری قسمت سرپوش آبشنی در لارو فیل ماهی تلف شده بالاترین میزان شیوع را داشت. بدشکلی های ناحیه سرپوش آبشنی (یک یا دو طرفه) عمدتاً به واسطه بدشکلی استخوان سرپوش آبشنی یا چین های پوستی این ناحیه حاصل می شود (Handwerker and Tava, 1994). این بدشکلی ها می توانند به علت آسیب های مکانیکی ناشی از جریان آب در مراحل اولیه لاروی رخ دهد که سبب تغییر در ساختار سرپوش آبشنی و در مراحل بعدی سبب ناهنجاری های استخوانی سرپوش آبشنی می شود Beraldo, 1998; Galeotti *et al.*, 2000; Beraldo, 2003؛ همچنین، با توجه به ویژگی تغذیه ای فیل ماهی در کسب غذا که بر اساس تغذیه مکشی استوار است می تواند سبب مشکل در تغذیه و تلفات شود.

خمیدگی و فشردگی ابتدای دم سبب تغییر در موقعیت باله پشتی می شود. علاوه بر این، فشردگی سرپوش آبشنی به علت تغییر موقعیت سر نسبت به محور افقی بدن نیز سبب تغییر موقعیت باله پشتی شده است. حرکات ساقه دمی به همراه فعالیت باله های دمی و پشتی دو نیروی اصلی در شنای لاروماهیان برای صید غذای زنده است و این نوع بدشکلی احتمالاً در لارو دارای کیسه زرده می تواند به علت شرایط محیطی بروز کند و در مرحله شروع تغذیه فعال سبب بروز تلفات شود (Koumoundouros *et al.*, 1997).

بخش دیگری از تلفات مشاهده شده در لاروهای

تقدیر و تشکر

از همکاری صمیمانه مسئولان و کارشناسان محترم انستیتو تحقیقاتی بین‌المللی ماهیان خاویاری دکتر دادمان و راهنمایی‌های دلسوزانه و بی‌دریغ دکتر یزدانی و مهندس پوردهقانی سپاسگزاریم.

و تغذیه‌ای لاروماهیان در مراحل اولیه زندگی، پایش متوالی این شاخص‌ها در کل دوره تغزیخگاهی برای حفظ استاندارد کیفی لاروها در سطحی مناسب اهمیت بالایی دارد (Koumoundouros *et al.*, 2001; Jafari *et al.*, 2009). با توجه به مشخص نبودن دلایل بروز انواع بدشکلی، مطالعات آتی برای درک علل بدشکلی توصیه می‌شود.

References

- [1]. Adriaens, D., Aerts, P., Verraes, W. 2001. Ontogenetic shift in mouth opening mechanisms in a catfish (Clariidae, Siluriformes): a response to increasing functional demands. *Journal of Morphology* 247, 197-216.
- [2]. Balon, E.K., 1986. Types of feeding in the ontogeny of fishes and the life-history model. *Environmental Biology of Fishes* 16, 11-24.
- [3]. Beraldo, P., 1998. Relazione tra nutrizione e qualita` in larve di Teleostei marini, con particolare riferimento all'orata (*Sparus aurata* L.). Tesi di Dottorato. Universita` degli Studi di Udine, Italia, 149 pp.
- [4]. Beraldo, P., Pinosa, M., Tibaldi, E., Canavese, B., 2003. Abnormalities of the operculum in Gilthead Sea bream (*Sparus aurata*): morphological description. *Aquaculture* 220, 89–99.
- [5]. Barahona-Fernandes, M., 1979. Some effects of light intensity and photoperiod on the sea bass larvae (*Dicentrarchus labrax* (L.)) reared at the Centre Oceanologique de Bretagne. *Aquaculture* 17, 311-321.
- [6]. Bookstein, F.L., 1996. Landmark methods for forms without landmarks: localizing group differences in outline shape. In: *Workshop on Mathematical Methods in Biomedical Image Analysis*. IEEE, pp. 279-289.
- [7]. Bronzi, P., Rosenthal, H., Arati, G., Williot, P. 1999. A brief overview on the status and prospects of sturgeon farming in western and central Europe. *Journal of Applied Ichthyology* 15, 224-227.
- [8]. Cobcroft, J.M., Battaglene, S.C. 2009. Jaw malformation in striped trumpeter *Latris lineata* larvae linked to walling behaviour and tank colour. *Aquaculture* 289, 274-282.
- [9]. Ellis, T., Howell, B.R.M., Hayes, J. 1997. Morphological differences between wild and hatchery-reared turbot. *Journal of Fish Biology* 50, 1124-1128.
- [10]. Galeotti, M., Beraldo, P., de Dominis, S., D'Angelo, L., Ballestrazzi, R., Musetti, R., Pizzolito, S., Pinosa, M., 2000. A preliminary histological and ultrastructural study of opercular anomalies in gilthead sea bream larvae (*Sparus aurata*). *Fish Physiology and Biochemistry* 22, 151–157.
- [11]. Galis, F., Terlouw, A., Osse, J.W.M., 1994. The relation between morphology and behaviour during ontogenetic and evolutionary changes. *Journal of Fish Biology* 45, 13-26.
- [12]. Gavaia, P.J., Dinis, M.T., Cancela, M.L., 2002. Osteological development and abnormalities of the vertebral column and caudal skeleton in larval and juvenile stages of hatchery-reared Senegal sole (*Solea senegalensis*). *Aquaculture* 211, 305-323.
- [13]. Gisbert, E., Merino, G., Muguet, J.B., Bush, D., Piedrahita, R.H., Conklin, D.E. 2002. Morphological development and allometric growth patterns in hatchery reared California halibut larvae. *Journal of Fish Biology* 61, 1217-1229.
- [14]. Handwerker, T.S., Tave, D., 1994. Semioperculum: a nonheritable deformity in Mozambique Tilapia. *Journal of Aquatic Animal Health* 6, 85-88.

- [15]. Hou, J.L., Zhuang, P., Zhang, L.Z., Feng, L., Zhang, T., Liu, J.Y., Feng, G.P., 2011. Morphological deformities and recovery, accumulation and elimination of lead in body tissues of Chinese sturgeon, *Acipenser sinensis*, early life stages: a laboratory study. Journal of Applied Ichthyology 27, 514–519.
- [16]. Jafari, M., Kamarudin, M.S., Saad, C.R., Arshad, A., Oryan, S., Bahmani, M., 2009. Development of Morphology in Hatchery-Reared *Rutilus Frisii Kutum* Larvae. European Journal of Scientific Research 38, 296-305.
- [17]. Keast, A., Webb, D., 1966. Mouth and body form relative to feeding ecology in the fish fauna of a small lake, Lake Opinicon, Ontario Journal of Fisheries Research Bd. Can, 23, 1845-1874.
- [18]. Kihara, M., Ogata, S., Kawano, N., Kubota, I., Yamaguchi, R., 2002. Lordosis induction in juvenile red sea bream, *Pagrus major*, by high swimming activity. Aquaculture 212, 149-158.
- [19]. Koumoundouros, G., Divanach, P., Kentouri, M., 2001. The effect of rearing conditions on development of saddleback syndrome and caudal fin deformities in *Dentex dentex* (L.). Aquaculture 200, 285-304.
- [20]. Koumoundouros, G., Maingot, E., Divanach, P., Kentouri, M., 2002. Kyphosis in reared sea bass (*Dicentrarchus labrax* L.): ontogeny and effects on mortality. Aquaculture 209, 49-58.
- [21]. Koumoundouros, G., Oran, G., Divanach, P., Stefanakis, S., Kentouri, M., 1997. The opercular complex deformity in intensive gilthead sea bream (*Sparus aurata* L.) larviculture. Moment of apparition and description. Aquaculture 156, 165-177.
- [22]. McFadzen, I.R., Lowe, D.M., Coombs, S.H., 1994. Histological changes in starved turbot larvae (*Schophtalmus maximus*) quantified by digital image analysis. Journal of Fish Biology 44, 255-262.
- [23]. Mitteroecker, P., Gunz, P., 2009. Advances in geometric morphometrics. Evolutionary Biology 36, 235-247.
- [24]. Mohseni, M., Pourkazemi, M., Mojazi Amiri, B., Kazemi, R., Kaladkova, L.N., 2000. A Study on the Effects of Stocking Density of Eggs and Larvae on the Survival and Frequency of Morphological Deformities in Persian Sturgeon, Great sturgeon and Stellate Sturgeon. Iranian Journal of Fisheries Sciences 2, 75-90.
- [25]. Morrison, C.M., MacDonald, C.A., 1995. Normal and abnormal jaw development of the yolk-sac larva of Atlantic halibut *Hippoglossus hippoglossus*. Dis. aquat. Org 22, 173-184.
- [26]. Oozeki, Y., Hwang, P.-P., Hirano, R., 1992. Larval development of the Japanese whiting, *Sillago japonica*. Japanese Journal of Ichthyology 39, 59-66.
- [27]. Orton, G.L., 1953. The systematics of vertebrate larvae. Systematic Zoology 2, 63-75.
- [28]. Rohlf, F.J., 2001. Comparative methods for the analysis of continuous variables: geometric interpretations. Evolution 55, 2143-2160.
- [29]. Scharf, F.S., Juanes, F., Rountree, R.A., 2000. Predator size-prey size relationships of marine fish predators: interspecific variation and effects of ontogeny and body size on trophicniche breadth. Marin Ecology Progress Ser 208, 229–248.